

# بررسی رفتار زمین‌شیمیابی عناصر اصلی و کمیاب خاکی در گارنت‌های پگماتیت‌های دره ولی (شمال شرق بروجرد، پهنه سنندج-سیرجان)

سمیه رحمانی جوانمرد<sup>۱</sup>، زهرا طهماسبی<sup>(۲)\*</sup>، زینک دینک<sup>۳</sup> و احمد احمدی خلجی<sup>۱</sup>

۱. دانشجوی دکتری پترولوزی، گروه زمین‌شناسی، دانشکده علوم پایه، دانشگاه لرستان، خرم‌آباد، ایران

۲. استادیار گروه زمین‌شناسی، دانشکده علوم پایه، دانشگاه لرستان، خرم‌آباد، ایران

۳. آزمایشگاه ژئوشیمی گوانگجو، اکادمی علوم چین، گوانجو، چین

تاریخ دریافت: ۹۶/۰۲/۱۰

تاریخ پذیرش: ۹۶/۰۵/۱۶

## چکیده

پگماتیت‌های منطقه دره ولی در شمال شرق بروجرد و در پهنه ساختاری سنندج-سیرجان واقع شده‌اند. این پگماتیت‌ها به صورت دایک‌هایی با روند شمال‌غرب-جنوب‌شرق، واحدهای گرانوودیوریتی منطقه مورد مطالعه را قطع کرده‌اند. این سنگ‌ها از نظر کانی‌های کوارتز، فلدسپارهای آکالان (ارتوكلاز و میکروکلین)، پلازیوکلاز، مسکوویت، گارنت (آلمندین-اسپسارتین)، آندالوزیت، تورمالین و آپاتیت هستند. الگوهای REE بهنجارشده نسبت به کندریت در پگماتیت‌های دره ولی، بیانگر غنی‌شدگی اندک LREE نسبت به (Eu/Eu<sub>0</sub>)<sub>0.20-0.45</sub> است. (La<sub>N</sub>/Yb<sub>N</sub>)<sub>0.40-0.67</sub>، الگوی نسبتاً مسطح HREE و بی‌هنجری منفی شدید Eu<sup>\*</sup> است. بررسی شیمی عناصر اصلی گارنت‌های درون این پگماتیت‌ها بیانگر منطقه‌بندی ترکیبی با افزایش Eu<sup>\*</sup> است. بررسی شیمی عناصر اصلی گارنت‌های درون این پگماتیت‌ها بیانگر منطقه‌بندی ترکیبی با افزایش MnO و کاهش FeO از مرکز به حاشیه است. مقادیر بسیار بالای منگنز (MnO=۱۰/۲۷-۱۳/۱۸ wt.%) و مقدار کم کلسیم (CaO=۱۵/۰-۲۹ wt.%) گارنت‌های موجود در پگماتیت دره ولی، مشابه گارنت‌های ماقمایی درون مذاب‌های پگماتیتی است. ترکیب بلورهای گارنت بر روی نمودار MnO+CaO در مقابل FeO+MgO (برحسب درصد وزنی)، بیانگر تبلور آنها در بخش حاشیه‌ای رگه پگماتیتی و از مذاب‌های کم‌تر تغقيق یافته است. نتایج LA-ICP-MS خاکی از غنی‌شدگی گارنت‌های موجود مطالعه از عناصر کمیاب خاکی سنگین (HREE)، تهی‌شدگی از عناصر کمیاب خاکی سبک (LREE) و بی‌هنجری منفی شدید Eu در مرکز (Eu/Eu<sub>0</sub>)<sub>0.40-0.45</sub> و مثبت Eu<sup>\*</sup> در حاشیه‌ها است. عناصر Y، Ti، Ta، Zr، Nb، Hf، U و Mn از مرکز به سمت حاشیه کاهش نشان می‌دهند. این تغییرات از مرکز به حاشیه، به افزایش فاز سیال و اکتیویته H<sub>2</sub>O در ماقما و افزایش تغقيق ماقمایی نسبت داده شده است. الگوی REE و بی‌هنجری‌های Eu در گارنت‌های دارای منطقه‌بندی، بیانگر تبلور آنها در شرایط احیایی تا اکسیدان است.

واژه‌های کلیدی: بروجرد، پگماتیت، دره ولی، زمین‌شیمی، عناصر کمیاب خاکی، گارنت ماقمایی.

## مقدمه

گارنت به عنوان یک کانی فرعی در پگماتیت‌های گرانیتی پرآلومین شناخته می‌شود، افزون بر این، در سنگ‌های دگرگونی با درجات دگرگونی متنوع نیز متداول است (London, 2008; Heimann, 2015). گارنت موجود در پگماتیت‌های گرانیتی اغلب ماقمایی است و از محلول‌های

\* نویسنده مرتبط: [tahmasebi.z@lu.ac.ir](mailto:tahmasebi.z@lu.ac.ir)

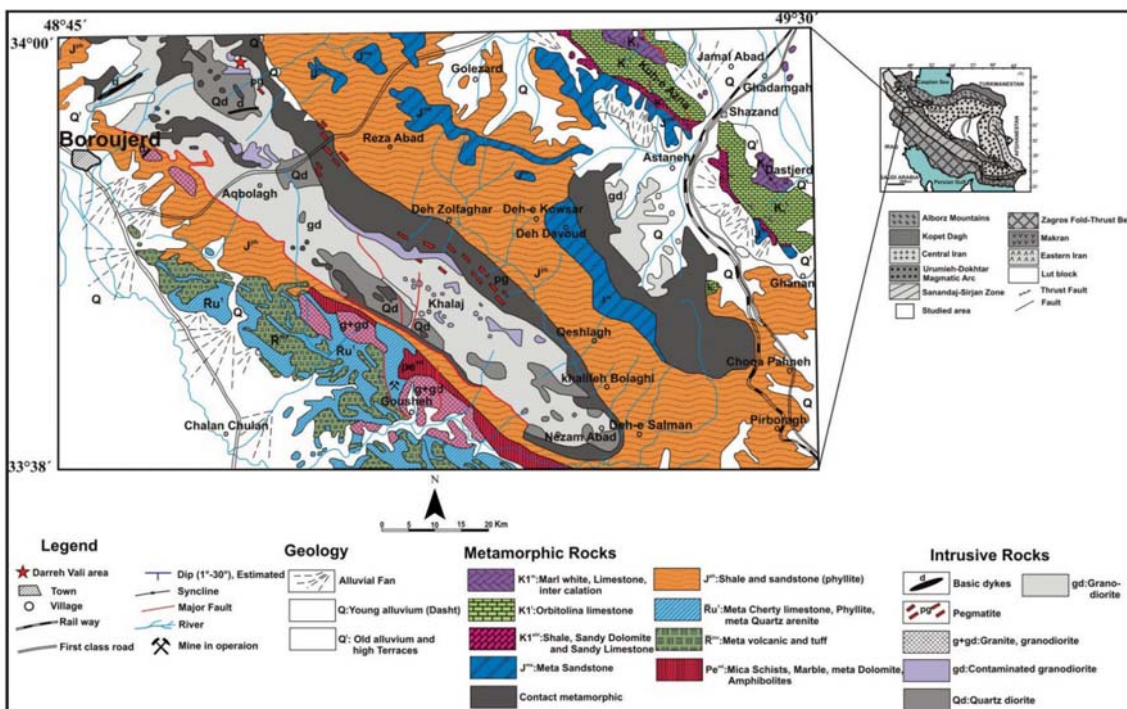
واقع شده است. در منطقه مورد مطالعه گستره وسیعی از سنگ‌ها با ترکیب اسیدی و بازیک رخنمون دارند. نمونه‌های اسیدی که بیشترین حجم را در منطقه مورد مطالعه دارد، شامل سنگ‌هایی با ترکیب کوارتزدیوریت، گرانودیوریت، مونزونوگرانیت و پگماتیت‌ها هستند. سنگ‌های بازیک شامل دایک‌های دلربی است که سایر واحدهای سنگی منطقه را قطع می‌کنند و انکلاوهای بزرگ گابروبی به اندازه چندین متر در سنگ‌های کوارتزدیوریتی دیده می‌شوند. محققین بسیاری به بررسی سنگ‌شناسی و زمین‌شیمیایی سنگ‌های آذربین منطقه بروجرد پرداخته‌اند، اما تاکنون در این بررسی‌ها، زمین‌شیمی ترکیب کل دایک‌های پگماتیتی و همچنین تغییرات عناصر کمیاب خاکی در گارنت موجود در آنها مورد بحث و بررسی قرار نگرفته است. از این‌رو، در بررسی‌های پیش‌بینی شده در طی این پژوهش، به توصیف و بررسی ویژگی‌های سنگ‌نگاری و زمین‌شیمی پگماتیت‌های دره ولی و همچنین به بررسی خاستگاه و الگوی تغییرات عناصر اصلی و کمیاب خاکی گارنت موجود در آنها پرداخته خواهد شد.

### روش مطالعه

بهمنظور مطالعه دایک‌های پگماتیتی منطقه دره ولی، تعداد ۵۰ نمونه دستی در طی پیمایش صحرایی برداشت گردید. پس از بررسی‌های صحرایی، نمونه‌برداری و مطالعات دقیق سنگ‌نگاری، در راستای تعیین شیمی کانی‌های پگماتیتی تعداد سه عدد مقطع نازک-صیقلی با ضخامت ۲۵۰ میکرون جهت تجزیه EPMA و LA-ICP-MS تهیه گردید. عناصر اصلی در کانی گارنت از حاشیه به مرکز و حاشیه-مرکز-حاشیه در چندین نقطه به وسیله ریزپردازنده JEOL (مدل JXA-8100)، با ولتاژ شتابدهنده ۱۵ کیلووات و جریان پرتو nA20 در کشور چین اندازه‌گیری شد. بهمنظور مطالعات زمین‌شیمیایی دقیق‌تر، ۳۴ عنصر کمیاب در چندین دانه گارنت و در چندین نقطه از حاشیه-مرکز-حاشیه توسط تجزیه LA-ICP-MS در کشور چین اندازه‌گیری گردید. همچنین جهت مطالعات زمین‌شیمیایی، از میان نمونه سنگ‌های پگماتیتی برداشت شده، سه نمونه انتخاب و پس از خردایش به کشور چین ارسال گردید تا به روش فلورانس اشعه ایکس (XRF) (Rigaku ZSX100e)

(Manning, 1983) (اسپسارتین) (Whitworth, 1992) تشکیل می‌شوند. گارنت‌های موجود در پگماتیت‌های کمتر تفریق یافته معمولاً غنی از آهن هستند (Müller et al., 2012). در بیشتر موارد گارنت‌های ماگمایی در پگماتیت‌های فلزیکی ( $\text{SiO}_2 \geq 70\text{ tw.}\%$ ) تشکیل می‌شوند و در ارتباط با گرانیت‌ویدهای پرآلومین تا متاآلومین هستند (Allan and Clarke, 1981; Miller and Stoddard, 1981; Dahlquist et al., 2007). بررسی شیمی عناصر اصلی کانی گارنت و الگوی منطقه‌بندی آن در بررسی ماهیت مذاب پگماتیتی از اهمیت خاصی برخوردار است (Černý et al., 1985). اگر گارنت دارای یک منشأ اولیه ماقمایی باشد، بررسی آن می‌تواند اطلاعات مفیدی را در مورد ژئودینامیک ژنز ماقما و شرایط فشار و درجه حرارت ارائه دهد (Green, 1977, 1992; Harangi et al., 2001). مطالعه عناصر کمیاب به ویژه عناصر کمیاب خاکی بر روی گارنت‌ها نیز می‌تواند راهگشایی بسیاری از مسائل در زمینه شناسایی سنگ منشأ گارنت، تغییرات دما و فشار در مذاب، ویژگی‌های فیزیکوشیمیایی سیالات هیدروترمال نظری pH، درجه حرارت (T) و فوگاسیته اکسیژن ( $f\text{O}_2$ ) باشد.

در منطقه بروجرد در پهنه ساختاری سندج-سیرجان، مجموعه وسیعی از توده‌های نفوذی گرانیت‌ویدی با وسعت ۱۸۰ تا ۲۰۰ کیلومتر مربع با روند شمال‌غرب-جنوب‌شرق بروند دارند. این مجموعه گرانیت‌ویدی جزء گرانیت‌های کمان آتشفسانی مرتبط با حاشیه قاره‌ای فعال بوده و از نظر زمین‌شیمیایی از نوع I، متاآلومین تا کمی پرآلومین هستند (Ahmadi-Khalaji et al., 2007). سنگ‌های گرانیت‌ویدی و سنگ‌های درونگیر این توده‌ها توسط تعدادی از دایک‌های فلزیک با ترکیب‌های آپلتی و پگماتیتی به طول ده‌ها متر و پهنه‌ای چند متر قطع گردیده‌اند. منطقه مورد بررسی در روستای دره ولی واقع در شمال شرق شهرستان بروجرد و بین طول‌های جغرافیایی  $48^{\circ} 54'$  تا  $49^{\circ} 33'$  شرقی و عرض‌های جغرافیایی  $33^{\circ} 58'$  تا  $34^{\circ} 00'$  شمالی قرار گرفته است (شکل ۱). این منطقه از نظر زمین‌شناسی در بخش شمالی پهنه سندج-سیرجان



شکل ۱. موقعیت منطقه دره ولی در نقشه زمین‌شناسی ایران و نقشه زمین‌شناسی منطقه مورد مطالعه (برگرفته از نقشه زمین‌شناسی ۱:۲۵۰۰۰۰ خرم‌آباد) (حاج ملاعلی و سهندی، ۱۳۷۱)

شد و سپس برای رسم نمودارهای زمین‌شیمیایی از برنامه‌های Excel، Igpet و GCDkit استفاده شد. مقدار  $\text{Fe}^{+3}$  جهت دسترسی به فرمول ساختاری کانی‌ها با استفاده از روش رائمه شده توسط Droop (1987) که براساس استوکیومتری کانی‌ها است، محاسبه شد. علاوه بر احتصاری کانی‌ها بر مبنای Whitney and Evans (2010) هستند.

برای عناصر اصلی و ICP-MS برای عناصر کمیاب و کمیاب خاکی مورد بررسی قرار گیرند. نتایج تجزیه شیمی مربوط به ترکیب کل نمونه‌های مورد مطالعه و تجزیه ریزپردازشی و همچنین تجزیه LA-ICP-MS کانی گارنت به همراه نتایج حاصل از محاسبه فرمول ساختاری آن در جداول ۱، ۲ و ۳ ارائه شده است. در این پژوهش، ابتدا کاتیون‌های اکسیدهای عناصر اصلی با نرم‌افزار Minerals Spread sheet محاسبه

جدول ۱. نتایج تجزیه شیمیایی ترکیب کل دایک‌های پگماتیتی دره ولی

Sample No.	DD1	DD2	D9
$\text{SiO}_2$ (wt.%)	81/27	74/9	75/76
$\text{TiO}_2$	0/03	0/02	0/05
$\text{Al}_2\text{O}_3$	11/4	15	14/24
$\text{Fe}_2\text{O}_3\text{T}$	1/01	1/25	1/63
FeO	0/92	1/14	1/48
MnO	0/13	0/11	0/07
MgO	0/07	0/15	0/23
CaO	0/41	0/75	0/52
$\text{Na}_2\text{O}$	3/41	5/47	3/5
$\text{K}_2\text{O}$	1/66	1/02	1/88

ادامه جدول ۱

P <sub>2</sub> O <sub>5</sub>	۰/۱۹	۰/۳۸	۰/۲۱
Cl	۰/۰۱>	۰/۰۱>	۰/۰۱
LOI	۰/۷	۰/۷۳	۰/۹۲
Total	۱۰۰/۱۹	۱۰۰/۱۹	۹۹/۵۸
F (ppm)	۲۰۰	۵۲۰	۴۱۰
Be	۰/۶۵	۰/۷۲	۰/۳۵
Sc	۴/۹	۲/۸	۴/۴
W	۲	۴	۱
Sn	۴	۸	۳
V	۰/۰>	۰/۰>	۰/۰>
Cr	۱۰/۰>	۱۰/۰>	۱۰/۰>
Ga	۱۷/۷	۱۹	۱۹/۳
Rb	۶۶/۵	۶۳/۹	۸۰/۶
Sr	۲۴/۸	۴۹	۱۹/۹
Y	۲/۸	۳/۴	۱۴/۸
Zr	۲۸	۳۱	۳۱
Nb	۲/۳	۳/۶	۰/۶
Cs	۱/۲۴	۲/۳۹	۱/۳
Ba	۶۵/۳	۶۲/۹	۳۳/۶
La	۱/۹	۲/۵	۵/۹
Ce	۳/۴	۶/۲	۱۲/۶
Pr	۰/۳۷	۰/۵۹	۱/۳۸
Nd	۱/۳	۲/۲	۴/۶
Sm	۰/۳۶	۰/۶۹	۱/۶
Eu	۰/۰۶	۰/۱۲	۰/۱۱
Gd	۰/۳۳	۰/۶۴	۱/۶۹
Tb	۰/۰/۷	۰/۱۲	۰/۳۵
Dy	۰/۵	۰/۶۳	۲/۲۲
Ho	۰/۱۱	۰/۱۱	۰/۴۸
Er	۰/۳۵	۰/۳	۱/۴۸
Tm	۰/۰/۷	۰/۰/۵	۰/۳۹
Yb	۰/۰/۳	۰/۴۲	۲/۲۸
Lu	۰/۰/۸	۰/۰/۷	۰/۳۵
Hf	۱/۳	۱/۴	۱/۳
Ta	۰/۶	۱/۲	۰/۲
Th	۰/۷۶	۱/۳۷	۲/۲۱
U	۰/۶۷	۱/۷۳	۴/۱۵
A/CNK	۱/۴۴	۱/۴۶	۱/۶۶
Norm. Crn	۴/۱۶	۴/۹	۶/۸۱
Eu/Eu <sup>*</sup>	۰/۰۲	۰/۰۴	۰/۲
LaN/YbN	۲/۴۴	۴/۰۴	۱/۷۶

Note: Eu/Eu<sup>\*</sup>=EuN/([Sm+Gd]N)/2

سمیه رحمانی جوانمرد و همکاران

جدول ۲. نتایج تجزیه ریزپردازشی حاشیه (R) و مرکز (C) گارنٹ‌های موجود در پگماتیت منطقه دره ولی (wt%). محاسبه فرمول ساختاری و مقادیر اعضای نهایی آن‌ها (برحسب ۱۲ اتم اکسیژن و به صورت a.p.f.u)

Sample no.	D9	DD1	DD1	DD1	DD1	DD2	DD2									
	R-۱-۱	C-۲-۱	R-۳-۱	R-۱-۲	M-۲-۲	M-۳-۲	C-۴-۲	M-۵-۲	M-۶-۲	R-۷-۲	R-۱-۱	C-۱-۲	R-۱-۳	C-۱-۴	C-۱-۱	R-۱-۲
Spot no.	۱۳۶	۱۳۷	۱۳۸	۱۴۷	۱۴۸	۱۴۹	۱۵۰	۱۵۱	۱۵۲	۱۵۳	۸۲	۱۰۱	۱۰۲	۱۱۴	۵۸	۵۹
SiO <sub>2</sub>	۳۵/۱۱	۳۵/۰۰	۳۴/۶۳	۳۴/۴۵	۳۳/۸۰	۳۴/۴۳	۳۴/۲۶	۳۳/۲۰	۳۴/۲۶	۳۴/۳۵	۳۵/۰۴	۳۵/۱۴	۳۵/۳۲	۳۵/۰۴	۳۴/۳۰	۳۴/۶۵
TiO <sub>2</sub>	۰/۰۴	----	۰/۱۴	۰/۰۷	۰/۰۶	۰/۰۱	----	۰/۰۹	۰/۰۴	۰/۰۷	----	۰/۰۲	۰/۱۱	----	----	----
Al <sub>2</sub> O <sub>3</sub>	۲۰/۸۸	۲۰/۸۷	۲۰/۸۷	۲۰/۹۸	۲۰/۸۲	۲۰/۶۱	۲۰/۶۲	۱۹/۸۵	۲۰/۶۱	۲۰/۷۳	۲۰/۶۹	۲۰/۷۳	۲۰/۸۸	۲۰/۶۳	۲۰/۷۰	۲۰/۷۴
FeO	۳۰/۹۶	۳۰/۸۴	۳۱/۰۶	۳۰/۸۹	۳۰/۶۹	۳۰/۳۵	۳۰/۳۵	۲۹/۹۳	۲۹/۹۸	۳۰/۷۸	۳۲/۰۵	۳۱/۴۶	۳۲/۱۵	۲۹/۸۵	۳۰/۲۹	۳۱/۵۰
MnO	۱/۳۲	۱/۶۷	۱/۷۱	۱/۴۵	۱/۹۶	۱۲/۲۱	۱۳/۰۰	۱۲/۴۱	۱۲/۴۲	۱۱/۰۸	۱۰/۲۷	۱۱/۳۰	۱/۰۵۶	۱۳/۱۸	۱۲/۵۸	۱/۰۵۳
MgO	۰/۷۲	۰/۴۲	۰/۸۵	۰/۷۳	۰/۶۱	۰/۴۲	۰/۴۵	۰/۴۶	۰/۵۲	۰/۸۲	۰/۸۵	۰/۵۵	۰/۷۷	۰/۴۸	۰/۳۰	۰/۲۹
CaO	۰/۲۵	۰/۲۷	۰/۲۱	۰/۲۰	۰/۲۶	۰/۲۷	۰/۲۹	۰/۲۸	۰/۲۵	۰/۲۰	۰/۲۱	۰/۲۳	۰/۱۵	۰/۲۲	۰/۱۹	۰/۱۸
Na <sub>2</sub> O	۰/۰۹	۰/۰۲	۰/۰۱	۰/۰۴	۰/۰۵	۰/۰۴	۰/۰۳	۰/۰۹	۰/۰۴	۰/۰۳	۰/۰۱	۰/۰۴	۰/۰۶	۰/۰۲	۰/۰۵	۰/۰۱
K <sub>2</sub> O	----	۰/۰۱	۰/۰۰	۰/۰۰	۰/۰۱	۰/۰۰	----	۰/۰۱	----	----	۰/۰۰	۰/۰۰	۰/۰۰	۰/۰۰	۰/۰۲	----
Total	۹۹/۳۷	۹۹/۰۹	۹۸/۲۸	۹۸/۸۰	۹۸/۲۴	۹۸/۳۴	۹۸/۹۹	۹۶/۳۲	۹۸/۱۲	۹۸/۰۵	۹۹/۱۲	۹۹/۴۶	۱۰۰/۰۱	۹۹/۴۱	۹۸/۴۳	۹۸/۹۰
Si	۲/۹۲	۲/۹۲	۲/۹۱	۲/۸۹	۲/۸۶	۲/۹۱	۲/۸۸	۲/۸۷	۲/۹۰	۲/۹۰	۲/۹۲	۲/۹۳	۲/۹۲	۲/۹۲	۲/۹۰	۲/۹۱
Al iv	۰/۰۸	۰/۰۸	۰/۰۹	۰/۱۱	۰/۱۴	۰/۰۹	۰/۱۲	۰/۱۳	۰/۱۰	۰/۱۰	۰/۰۸	۰/۰۷	۰/۰۸	۰/۰۸	۰/۱۰	۰/۰۹
Al vi	۱/۹۷	۱/۹۸	۱/۹۶	۱/۹۷	۱/۹۴	۱/۹۶	۱/۹۳	۱/۹۱	۱/۹۵	۱/۹۶	۱/۹۶	۱/۹۶	۱/۹۵	۱/۹۶	۱/۹۷	۱/۹۷
Ti	۰/۰۰	۰/۰۰	۰/۰۱	۰/۰۰	۰/۰۰	۰/۰۰	۰/۰۱	۰/۰۰	۰/۰۰	۰/۰۰	۰/۰۰	۰/۰۱	۰/۰۰	۰/۰۰	۰/۰۰	۰/۰۰
Cr	۰/۰۰	۰/۰۰	۰/۰۰	۰/۰۰	۰/۰۰	۰/۰۰	۰/۰۰	۰/۰۰	۰/۰۰	۰/۰۰	۰/۰۰	۰/۰۰	۰/۰۰	۰/۰۰	۰/۰۰	۰/۰۰
Fe <sup>3+</sup>	۰/۰۲	۰/۰۲	۰/۰۳	۰/۰۳	۰/۰۵	۰/۰۴	۰/۰۶	۰/۰۸	۰/۰۴	۰/۰۳	۰/۰۴	۰/۰۳	۰/۰۳	۰/۰۴	۰/۰۳	۰/۰۳
Fe <sup>2+</sup>	۲/۱۳	۲/۱۴	۲/۱۶	۲/۱۴	۲/۱۲	۲/۱۱	۲/۰۷	۲/۰۹	۲/۰۸	۲/۱۴	۲/۲۰	۲/۱۶	۲/۲۰	۲/۰۴	۲/۱۱	۲/۱۸
Mn	۰/۸۰	۰/۸۳	۰/۷۶	۰/۸۱	۰/۸۶	۰/۸۷	۰/۹۳	۰/۹۱	۰/۸۹	۰/۷۹	۰/۷۳	۰/۸۰	۰/۷۴	۰/۹۳	۰/۹۰	۰/۸۲
Mg	۰/۰۹	۰/۰۵	۰/۱۱	۰/۰۹	۰/۰۸	۰/۰۵	۰/۰۶	۰/۰۶	۰/۰۷	۰/۱۰	۰/۱۱	۰/۰۷	۰/۱۰	۰/۰۶	۰/۰۴	۰/۰۴
Ca	۰/۰۲	۰/۰۲	۰/۰۲	۰/۰۲	۰/۰۲	۰/۰۲	۰/۰۳	۰/۰۳	۰/۰۲	۰/۰۲	۰/۰۲	۰/۰۲	۰/۰۱	۰/۰۲	۰/۰۲	۰/۰۲
Total	۸/۰۴	۸/۰۴	۸/۰۴	۸/۰۶	۸/۰۸	۸/۰۵	۸/۰۷	۸/۰۷	۸/۰۵	۸/۰۵	۸/۰۴	۸/۰۴	۸/۰۴	۸/۰۵	۸/۰۶	۸/۰۶
alm	۶۸/۸۶	۶۹/۱۲	۶۹/۵۰	۶۸/۰۸	۶۶/۰۱	۶۷/۲۸	۶۵/۰۴	۶۵/۳۸	۶۶/۲۵	۶۸/۴۹	۷۰/۹۰	۶۹/۷۶	۷۰/۹۷	۶۵/۴۵	۶۷/۰۲	۷۰/۰۲
adr	۰/۷۷	۰/۷۹	۰/۶۴	۰/۶۲	۰/۶۸	۰/۸۳	۰/۸۶	۰/۹۰	۰/۶۶	۰/۶۲	۰/۶۵	۰/۵۵	۰/۴۵	۰/۶۶	۰/۴۷	۰/۵۴
grs	۰/۰۰	۰/۰۰	۰/۰۰	۰/۰۰	۰/۰۰	۰/۰۰	۰/۰۰	۰/۰۰	۰/۰۰	۰/۰۰	۰/۰۰	۰/۰۰	۰/۰۰	۰/۰۰	۰/۰۰	۰/۰۰
prp	۳/۰۵	۱/۷۹	۳/۶۶	۳/۱۶	۲/۸۹	۱/۸۴	۱/۹۴	۲/۰۵	۲/۲۸	۳/۵۷	۲/۶۲	۲/۳۱	۳/۲۶	۲/۰۴	۱/۳۰	۱/۲۵
sps	۲۷/۳۱	۲۸/۲۵	۲۶/۲۰	۲۸/۱۴	۲۹/۹۸	۳۰/۰۵	۳۲/۱۳	۳۱/۶۷	۳۰/۶۹	۲۷/۳۲	۲۴/۸۳	۲۷/۲۴	۲۵/۳۲	۳۱/۸۵	۳۱/۰۷	۲۸/۱۹
uv	۰/۰۰	۰/۰۵	۰/۰۰	۰/۰۰	۰/۱۴	۰/۰۰	۰/۰۳	۰/۰۰	۰/۱۲	۰/۰۰	۰/۰۰	۰/۱۴	۰/۰۰	۰/۰۰	۰/۱۳	۰/۰۰

Note: R=Rim; M=Middle; C=Core

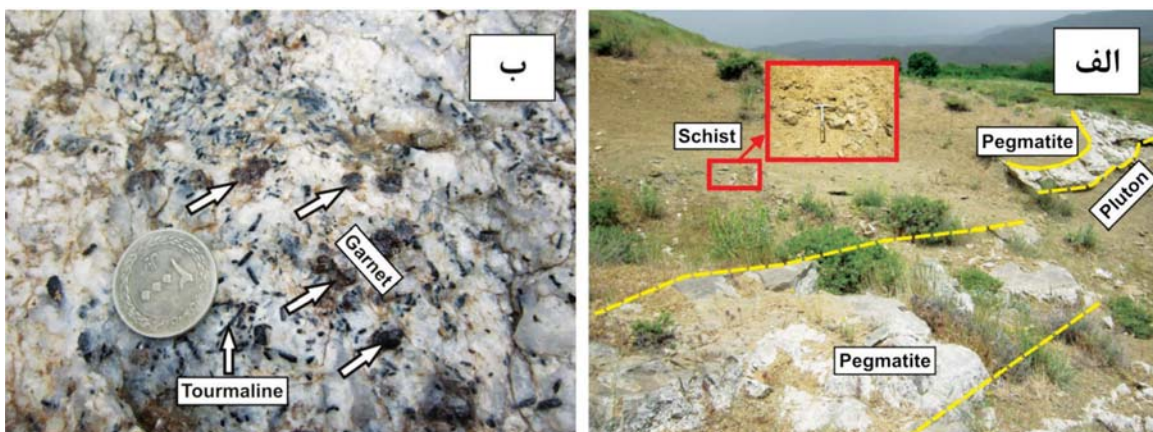
بررسی رفتار زمین‌شیمیایی عناصر اصلی و کمیاب خاکی ...

دیگر این مکانات را می‌توان تجزیه عناصر کمپیا- $\beta$  و کمپیا- $\gamma$  نامید. خاکی به ووش MS LA-ICP-MS در گارنت درون گیگماتیت‌های منطقه ذره ولی

Note: Eu/Eu<sup>\*</sup>=EuN/([Sm+Gd]N)/2

## نتایج و بحث

و به صورت ایزوتروپ بوده و با مرزهای واضح و صاف بدون واکنش با کانی‌های مجاور قابل مشاهده است (شکل ۳-الف، ب و پ). عدم وجود حاشیه واکنشی در این گارنتمانها، حاکی از رشد آن‌ها تحت شرایط تعادل است. این کانی غالباً خودشکل، نیمه‌خودشکل، بی‌شکل و خردشده بوده و دارای میانبارهایی از تورمالین است (شکل ۳-الف، ب و پ). تورمالین‌ها در مقاطع نازک به صورت خودشکل بوده و دارای منطقه‌بندی با هسته آبی و حاشیه سبز هستند (شکل ۳-پ). آندالوزیت سریسیتی شده در این سنگ‌ها در حاشیه تودهای نفوذی گرانیتی و پگماتیتی دیده می‌شود (شکل ۳-ت). کوارترها دارای خاموشی موجی با حاشیه مضرسی به صورت درشت‌بلور تا ریز‌بلور می‌باشند. از دیگر کانی‌های همراه گارنت می‌توان به مسکوویت اشاره کرد که معمولاً به صورت هم‌زیست با آن دیده می‌شود. در این سنگ‌ها، پلاژیوکلازها با ماکل پلی‌سنتیک قابل مشاهده هستند که بیشتر تجزیه‌شده‌اند و سریسیت در آن‌ها دیده می‌شود (شکل ۳-ث). فلدسپار قلیابی بیشتر از نوع ارتوکلاز پرکیتی و میکروکلین است (شکل ۳-ج).

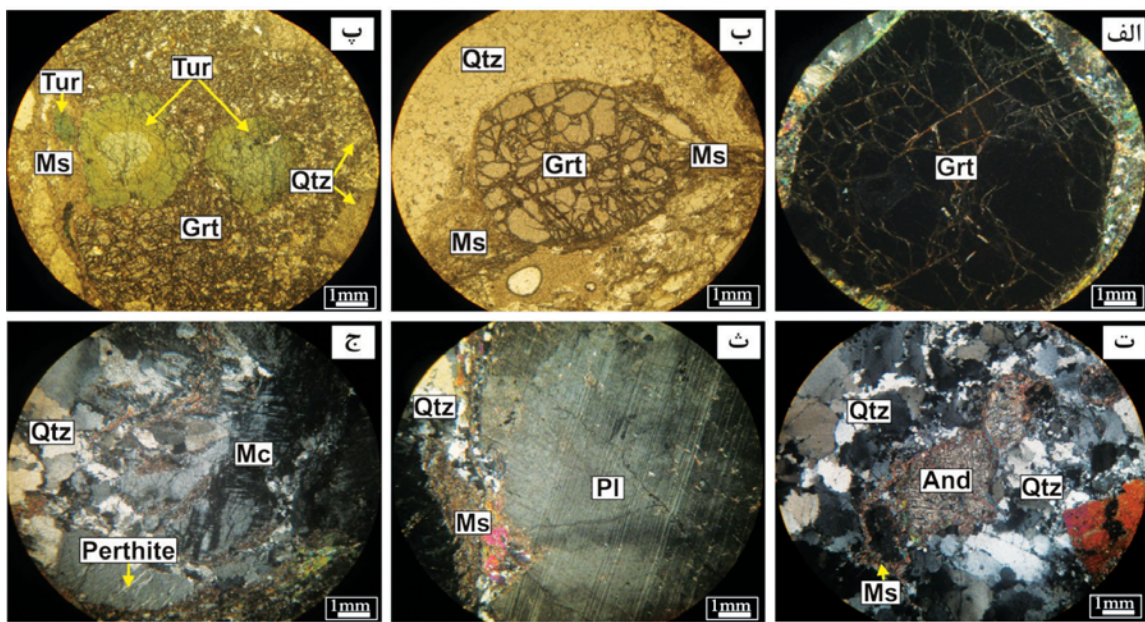


شکل ۲. الف) نمایی از واحدهای سنگی شامل توده نفوذی، شیست و پگماتیت در منطقه مورد مطالعه، ب) تصویر صحرایی از تودهای پگماتیتی که در آن بلورهای گارنت و تورمالین به راحتی قابل مشاهده هستند (دید به سمت جنوب)

سنگ‌ها دارای مقادیر بالای از  $\text{SiO}_2$  ۷۴/۹ تا ۸۱/۲۷ درصد وزنی و  $\text{Al}_2\text{O}_3$  ۱۱/۴ تا ۱۵ درصد وزنی) هستند. بالا بودن مقدار  $\text{Al}_2\text{O}_3$  با نسبت‌های بالای گارنت و پلاژیوکلاز در این سنگ‌ها هماهنگ است. مقادیر پایین  $\text{MgO}$  (۰/۰۷ تا ۰/۲۳

### شیمی ترکیب کل پگماتیت‌ها

نتایج حاصل از تجزیه عناصر اصلی و کمیاب بدست آمده از دایک‌های پگماتیتی مورد بررسی در جدول ۱ ارائه شده است. همان‌طور که در این جدول دیده می‌شود، این



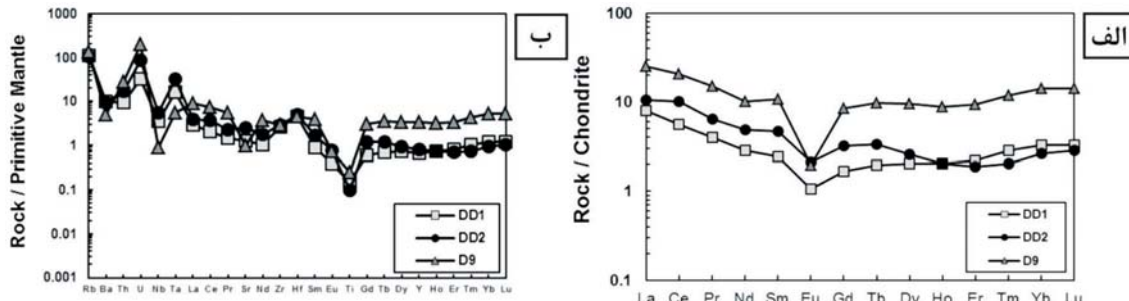
شکل ۳. الف) نمونه‌ای از گارنت‌های خودشکل در وضعیت نوری XPL، ب) نمایی از گارنت‌های نیمه‌خودشکل در وضعیت نوری PPL، پ) حضور میانوار تورمالین دارای منطقه‌بندی درون گارنت بی‌شکل در وضعیت نوری آندالوزیت‌های سریسیتی شده در وضعیت نوری XPL، ث) پلازیوکلازهای سریسیتی شده در وضعیت نوری XPL، ج) ارتولکاز پرتیتی و میکروکلین در وضعیت نوری XPL، ث) پلازیوکلازهای سریسیتی شده در وضعیت نوری XPL.

مورد بررسی و مسطح بودن نمودار عنکبوتی این عناصر می‌تواند ناشی از حضور مقادیر بالایی از زیرکن در نمونه‌ها و ریشه‌گرفتن ماقماً از عمق باشد که در آن گارنت حضور نداشته و یا به عنوان فاز تفاله حاصل از ذوب عمل نکرده است (Tsygankov and Vrublevskaya, 1988; Rollinson, 1993) در نمودار چند عنصری عناصر کمیاب بهنجار شده نسبت به گوشه‌های اولیه (McDonough and Sun, 1995) (شکل ۴-ب)، این نمونه‌ها در عناصری مانند Ti, Ba, Nb, Rb, Th, U, Ce, La و Ce, La غنی‌شده‌گی و در عناصر LILE و Sr و تهی‌شده‌گی نشان می‌دهند. غنی‌شده‌گی از LILE و تهی‌شده‌گی از HFSE از ویژگی‌های مهم سنگ‌های ماگمایی مرتبط با قوس‌های آشیانی بوده که در اثر عملکرد سیالات ناشی از فروزانش به وجود می‌آیند (Rollinson, 1993; Peng et al., 2007) همچنین، بی‌هنجاری منفی Nb-Ta (Chappell and White, 1992) از منشأ پوسته‌ای باشد؛ Aldanmaz et al., 2000) بی‌هنجاری مثبت Rb ناشی از وجود فلدسپار پتاسیم‌دار و بی‌هنجاری منفی Sr و Ba (Björk et al., 1993) از مراحل قاره‌ای بوده و همچنین می‌تواند بیانگر مذاب حاصل از مشاهده پلازیوکلازهای غنی از کلسیم در طی مراحل

درصد وزنی)، FeO (۰/۹۲-۰/۱۸)، CaO (۰/۴۱-۰/۴۸)، TiO<sub>2</sub> (۰/۰۲-۰/۰۵)، P<sub>2</sub>O<sub>5</sub> (۰/۱۹-۰/۳۸)، P (۰/۰۵-۰/۰۷)، درصد وزنی) بیانگر ماهیت تفریق یافته پگماتیت‌های مورد مطالعه است (جدول ۱). این سنگ‌ها از نظر شاخص اشباع از آلومینیوم (A/CNK= ۱/۶۶-۱/۴۴)، و مقدار کرون‌دوم نورماتیو (CIPW= ۸/۱۶-۶/۴) شدیداً پراًلومین هستند (جدول ۱). در شکل ۴، تغییرات عناصر کمیاب در دایک‌های پگماتیتی مورد مطالعه نسبت به ترکیب‌های پیشنهادی برای کندریت و گوشه‌های اولیه مقایسه شده است. بررسی نمودار عنکبوتی عناصر کمیاب خاکی بهنجار شده به کندریت (McDonough and Sun, 1995) بیانگر یک شیب اندک منفی از HREE به سمت LREE (La<sub>N</sub>/Yb<sub>N</sub>= ۰/۰۴-۰/۷۶)، بی‌هنجاری منفی Eu و الگوی تقريباً مسطح HREE است (شکل ۴-الف). بی‌هنجاری منفی Eu (Eu/Eu\*= ۰/۴۵-۰/۲۰) در این نمونه‌ها حاکی از کاهش فوگاسیته اکسیژن، جدایش پلازیوکلازهای کلسیک در طی تبلور جدایشی ماگما قبل از مرحله پگماتیتی بوده و یا ممکن است بیانگر ریشه‌گرفتن ماقماً از عمق باشد که در آن فلدسپار موجود نبوده است (Rollinson, 1993). عدم مشاهده تهی‌شده‌گی مشخص از HREE در نمونه‌های

عامل مهمی در تحولات ماقمایی محسوب می‌شوند. از سوی دیگر، بیهنجاری منفی عناصر ناسازگار و متحرک LILE (مانند Ba و Sr) در ترکیب کل پگماتیت‌های مورد بررسی را می‌توان به تحرک آنها تحت تأثیر سیال‌های نظیر سیال‌های فلوئور، کلر و بوردار نسبت داد که در مذاب‌های پگماتیتی به وفور یافت می‌شوند (Rollinson, 1993).

اولیه تبلور ماقم است (Wilson, 1989). بنابر پیشنهاد Wu et al., (2003) بی هنجاری منفی Eu با اگر همرا با بی هنجاری منفی Sr باشد، بر اثر تفرقی پلازیوکلاز و در صورتی که همرا با بی هنجاری منفی Ba باشد، بر اثر تفرقی فلدسپار پتاسیم دار ایجاد می شود. بر این اساس در نمونه های مورد مطالعه تفرقی پلازیوکلاز و فلدسپار پتاسیم دار با هم



شكل 4. الگوی بهنجارشده عناصر کمیاب و کمیاب خاکی در پigmاتیت‌های دره ولی نسبت به: (الف) ترکیب کندریت (برگرفته از McDonough and Sun, 1995) (and Sun, 1995)، ب) ترکیب گوشته اولیه (برگرفته از 1995، McDonough and Sun)

نحوه ای از میانگر تفرقی شدید REE در گارنت‌های ماگمایی بالا بوده و بیانگر نسبت پاکیزگی میانبارهای غنی از LREE باشد که این گارنت‌ها باید تقریباً عاری از Nd باشند و در مقابل فقط حاوی میانبارهایی با Nd پایین هستند (Thöni and Miller, 2004). نسبت Sm/Nd معمولاً در گارنت‌های عکنبوتویی، تغییرات عناصر کمیاب خاکی و کمیاب موجود در گارنت نسبت به کندربیت و گوشته اولیه بهمنجارد نسبت به سنگ میزبانشان (جدول ۱) هستند. این گارنت‌ها دارای غلظت‌های متوسطی از Ti (۲۰/۴۳۴-۵۵۴ ppm)، Zr (۲۰/۴۳۴-۵۵۴ ppm)، Ce (۲۰/۵۲۳ ppm)، La (۱۷/۰-۱/۱۹۷ ppm)، Eu (۰/۵۱۸ ppm)، Pr (۰/۶۳۴ ppm) و Nd (۰/۴۷-۳/۳۸۷ ppm) هستند. مقدار Sm بین ۰/۰۴۷-۰/۰۵۸ ppm و مقدار Sc (۲۰/۰۱۷-۳/۴/۲۰۳ ppm) و Ce (۲۰/۵۴۹-۵۴۰/۰۸۳ ppm) هستند. مقدار Sm/Nd در حدود ۰/۲۸۱ تا ۰/۱۶۶ ppm می‌شود. غلظت Sm/Nd پایین Nd و نسبت بالای Sm/Nd در گارنت‌های مورد مطالعه نشان می‌دهد که این گارنت‌ها باید تقریباً عاری از میانبارهای غنی از Sm/Nd باشند و در مقابل فقط حاوی میانبارهایی با Sm/Nd پایین هستند (Thöni and Miller, 2000; Sölva et al., 2003).

شیمی کانی

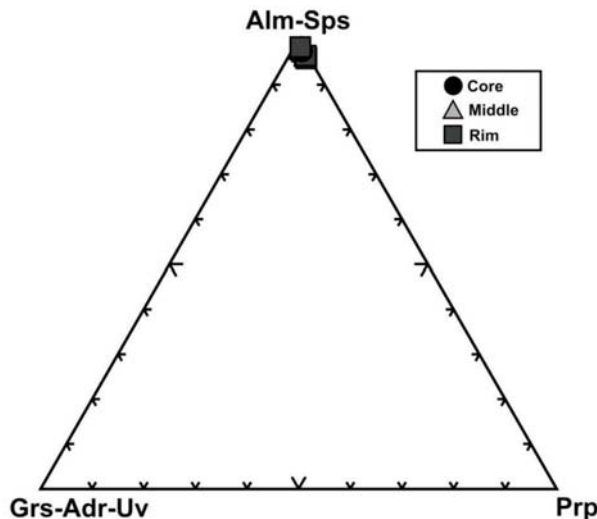
به منظور بررسی ترکیب شیمیایی، تعیین الگوی منطقه‌بندی و منشأ گارنت‌های موجود در پگماتیت‌های مورد مطالعه، چندین نمونه گارنت از حاشیه به مرکز و همچنین حاشیه-مرکز-حاشیه مورد تجزیه ریزپردازشی و تجزیه LA-ICP-MS قرار گرفتند. نتایج تجزیه ریزپردازشی و تجزیه LA-ICP-MS کانی گارنت در جداول ۲ و ۳ ارائه گردیده است.

## زمین‌شیمی عناصر اصلی در گارنت

براساس نمودار سه‌تایی Grs، Alm+Spes و Prp که از طریق محاسبه اعضای پایانی به دست آمدند، گارنت‌های منطقه دره ولی در گستره گارنت‌های پیرالسپیت قرار گرفته و از نوع آلماندین-اسپسارتین هستند و تنها در صد کمی پیروپ و آندرادیت دارند (جدول ۲ و شکل ۵).

## زمین‌شیمی عناصر کمپاپ خاکی در گارنت

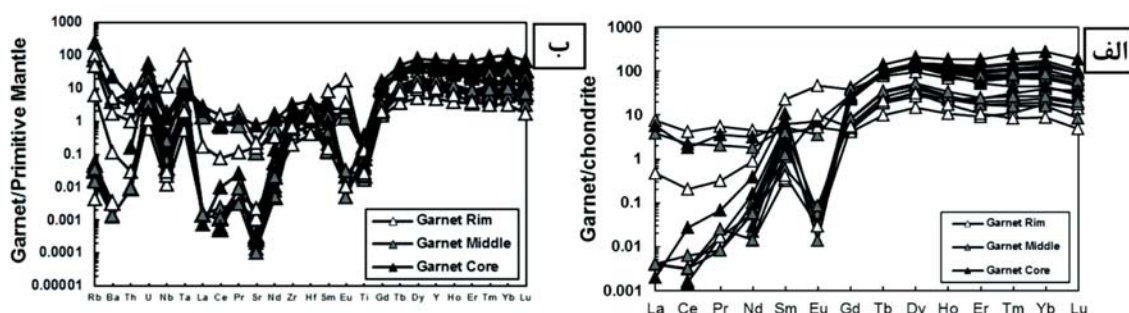
نتایج تجزیه گارنت‌ها به روش LA-ICP-MS (جدول ۳) نشان می‌دهد که گارنت‌های موجود در پگماتیت‌های مورد مطالعه غنی در Y (۲۱/۲۸۳-۳۱۹/۹۱۸) و HREE بوده، اما شامل مقادیر پایین Rb (۰/۰-۲۸۷/۴۱۵ ppm)، Cr (۰/۰-۲۸۷/۴۱۵ ppm)



(Coleman et al., 1965) Alm+Sps-Prp-Grs

نسبت به گوشه اولیه (McDonough and Sun, 1995)، گارنت موجود در رگه‌های پگماتیتی از عناصر با شدت میدان پایین (LILE مانند Ba, Rb و Sr) تھی‌شدگی نشان می‌دهند و دارای بی‌هنجاری‌های منفی Ti و Nb و مثبت Ta و U هستند (شکل ۶-ب). بی‌هنجاری منفی Sr و Ba در گارنرها، به دلیل شعاع یونی بزرگ‌تر این عناصر نسبت به جایگاه‌های آتاپیری با هم‌آرایی ۸ در ساختار گارنت است (Gaspar et al., 2008).

شده‌اند (شکل ۶). بررسی نمودار عنکبوتی عناصر کمیاب خاکی بهنجار شده به کندریت (McDonough and Sun, 1995) حاکی از غنی‌شدگی این گارنرها از عناصر کمیاب خاکی سنگین (HREE) نسبت به عناصر کمیاب خاکی سبک (Yb<sub>N</sub>/Sm<sub>N</sub>=۳/۶۸-۷۳/۱۱) و بی‌هنجاری منفی شدید Eu در مرکز (Eu/Eu<sup>\*</sup>=۰-۰/۴۱) و بی‌هنجاری مثبت Eu<sup>\*</sup>=۳-۰/۲۲) در حاشیه‌ها است (شکل ۶-الف و جدول ۳). در نمودار تغییرات عناصر کمیاب بهنجار شده



شکل ۶. نمودار بهنجارسازی عناصر در گارنرها موجود در پگماتیت‌های دره ولی نسبت به: (الف) ترکیب کندریت (برگرفته از McDonough and Sun, 1995) و (ب) ترکیب گوشه اولیه (برگرفته از McDonough and Sun, 1995)

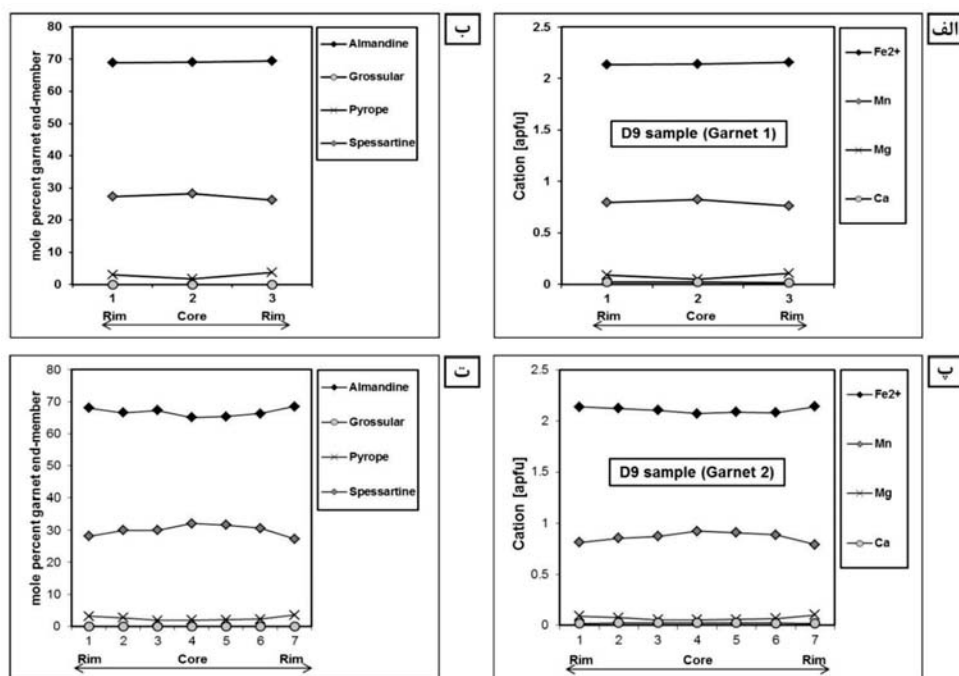
HASHIYE AFZAYISH YAFTEH و مقدار اسپسارتین در مرکز آن‌ها بیشتر است. گروسو-ولار تغییرات منظمی را از مرکز تا حاشیه این گارنرها نشان نمی‌دهد (جدول ۲ و شکل ۲). این روند به وضوح بیانگر منطقه‌بندی ترکیبی عادی در گارنرها مورد بررسی است. گارنرها ماقمایی با مرکزهای غنی از Mn

### زون‌بندی عناصر اصلی در گارنر

در گارنرها مورد مطالعه، از مرکز به حاشیه مقدار Fe و Mg افزایش پیدا کرده، در حالیکه مقدار Mn کاهش یافته و Ca روندی خطی نشان می‌دهد (جدول ۲ و شکل ۲). مقدار آلماندین و پیروپ در گارنرها مورد مطالعه بهسوزی

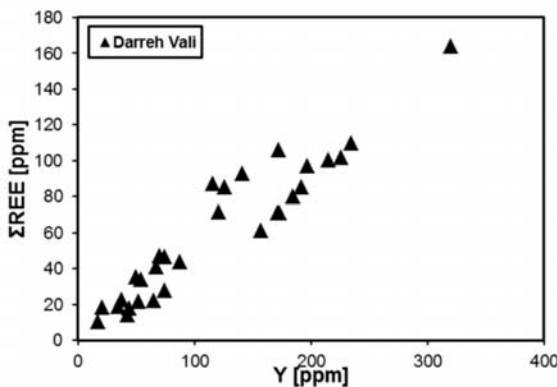
در مورد مرکزهای غنی از Mn و حاشیه‌های غنی از Fe در گارنت موجود در پگماتیت‌های مناطق Steli.Li gruve و Hovåsen پیشنهاد کردند در جایی که گارنت به تنها یعنی Fe و Mn مذاب را تأمین می‌کند، مذاب در Mn نسبت به Fe تهی می‌شود و مقادیر  $MnO/(MnO+FeO)$  گارنت از مرکز به حاشیه کاهش پیدا می‌کند. ویژگی بارز منطقه‌بندی عناصر اصلی نمونه‌های مورد بررسی، الگوی زنگوله‌ای شکل (و اسپارتنین) است (شکل ۷-پ و ت). منطقه‌بندی زنگوله‌ای شکل Mn در گارنت به دنبال تغییر ضرایب توزیع Mn (و اسپارتنین) است (Nakano and Ishikawa, 1997; Dahlquist et al., 2007). به عقیده Ishikawa, 1997) الگوی زنگوله‌ای شکل Mn در گارنت‌های موجود در پگماتیت باید منشأ دگرگونی داشته باشد (زنکوپیستی) یا از ماقماهای گرانیتی بسیار فلزیک (wt.-%  $SiO_2 = 73\text{--}76$ ) در درجه حرارت‌های زیر ۷۰۰ درجه سانتی‌گراد تشکیل شده باشد. عقیده بر آن است که گارنت تشکیل شده در طی فعالیت‌های دگرگونی پیش‌رونده معمولاً دارای منطقه‌بندی عادی، با مرکزهای غنی از Mn و حاشیه‌های غنی از Fe هستند (Deer et al., 1982).

و حاشیه‌های غنی از Fe از پگماتیت‌های گرانیتی در فرانسه (Leake, 1967)، پگماتیت‌های Yamanoo (Ishikawa, 1997)، (شمال شرق ژاپن) (Nakano and Ishikawa, 1997)، (Manning, 1983)، (Hub Kapong (تایلند) گرانیت‌های Cairnsmore of Fleet (جنوبی، Ötztal (اسکاتلندر) (Macleod, 1992) و بی‌سنگ (Thöni and Miller, 2001) کاهش  $Fe^{2+}$  گزارش شده‌اند. (Arredondo et al., 2001) افزایش Mn از حاشیه به مرکز را به افزایش اکتیویته  $aH_2O$  در ماقما (aH<sub>2</sub>O) در طی تبلور پگماتیت نسبت داده‌اند. با توجه به اینکه ضریب توزیع Mn/Fe بین گارنت و مذاب بیشتر از یک است، بنابراین مذاب با تبلور گارنت ماقمایی به سمت مقادیر پایین‌تر منگز تفرقی پیدا می‌کند (London, 2008). در نتیجه، همان‌گونه که در گارنت‌های درون پگماتیت‌های منطقه دره ولی مشاهده می‌شود، میزان منگز به سوی حاشیه گارنت کاهش نشان می‌دهد. لذا یکی از دلایل تمرکز Mn در مرکز گارنت‌ها را می‌توان به سازگاری بسیار زیاد منگز نسبت به کانی‌های سیلیکاته دیگر در ساختمان گارنت نسبت داد. (Müller et al., 2012)



شکل ۷. روند تغییرات عناصر و اعضای نهایی از حاشیه-مرکز-حاشیه در بلورهای گارنت موجود در پگماتیت‌های منطقه دره ولی

عناصر ناسازگار در گارنت رفتار می‌کنند (Anczkiewicz et al., 2012) این بنا براین، انتظار می‌رود که روند پراکندگی این عناصر مشابه با LREE باشد. بررسی نمودارها نشان می‌دهد که منطقه‌بندی عناصر HFSE (شامل U, Ti, Ta, Nb, Hf, Zr) در بیشتر گارنت‌های تجزیه شده منطقه دره ولی مشابه با روندهای مشاهده شده برای عناصر Nd و Sm بوده. و از مرکز به حاشیه روند کاهشی نشان می‌دهد (شکل ۹). عناصر کمیاب خاکی متوسط (Dy, Tb, Gd) و عناصر کمیاب خاکی سنگین (Er, Ho, Yb, Lu, Tm) نیز دارای رفتار زمین‌شیمیایی مشابهی بوده و روند تغییرات آنها از مرکز به حاشیه کاهشی است (شکل ۹).



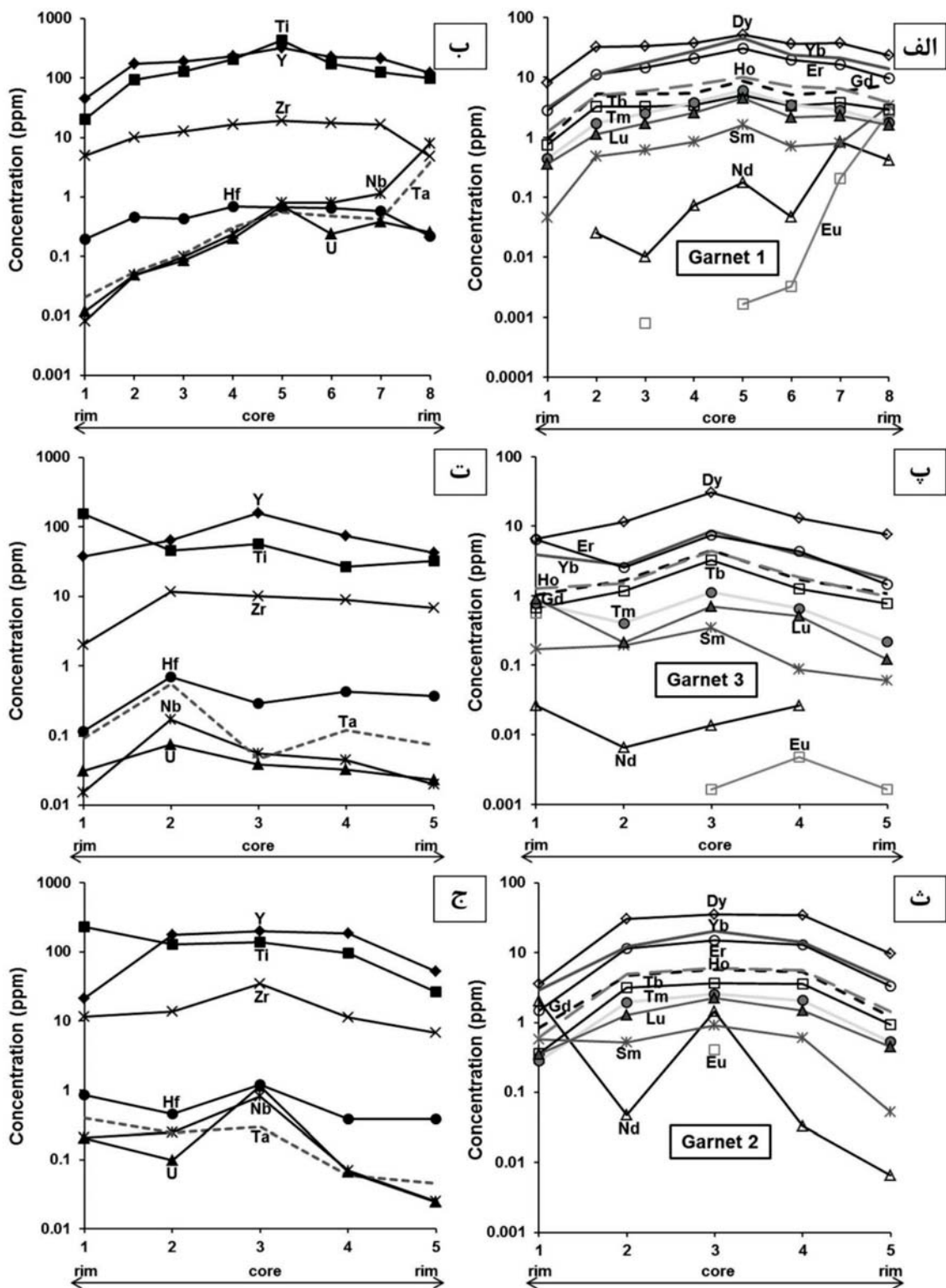
شکل ۸. رابطه خطی بین مقادیر  $\Sigma$ REE با مقدار Y در بلورهای گارنت درون پگماتیت‌های دره ولی

## منشأ گارنت

گارنت آذرین با ترکیب شیمیایی منحصر بفرد می‌تواند از یک ماقمای نوع I/M (به ترتیب، مانند مذاب مشتق شده بهوسیله ذوب‌بخشی سنگ‌های آذرین در پوسته و مذاب‌های حاصل از گوشته بالایی) یا یک ماقمای نوع S متبلور شود (Green, 1992; Harangi et al., 2001). گارنت‌های متبلور شده از ماقماهای متالومین (I/M-type) بهوسیله مقادیر نسبتاً بالای (Green, 1992; Harangi et al., 2001) تشخیص داده می‌شوند، در حالیکه گارنت‌های متبلور شده از ماقماهای پرآلومین نوع S و منشأ پلیتی دارای مقادیر پایینی از ( $<4$  wt.%) CaO و مقادیر متغیری از MnO هستند (Green, 1992; Harangi et al., 2001) در مورد پگماتیت‌های دره ولی، همه بلورهای گارنت شامل مقادیر پایین (CaO ۰/۰-۱۵/۲۹ wt.%) به عنوان عناصر HFSE (شامل U, Hf, Ti, Ta, Nb, Zr) به عنوان

## زون‌بندی عناصر کمیاب خاکی در گارنت

غلظت کل عناصر کمیاب خاکی ( $\Sigma$ REE) در گارنت‌های موجود در پگماتیت‌های دره ولی با مقدار Y همبستگی مثبتی را نشان می‌دهند (شکل ۸). با توجه به توزیع Y و HREE (La, Ho) در گارنت‌های موجود در پگماتیت دره ولی دو نوع منطقه‌بندی از مرکز به حاشیه قابل مشاهده است (شکل ۹). در منطقه‌بندی نوع اول، روند تغییرات Y و HREE از مرکز به سوی حاشیه کاهشی است (شکل ۹-الف، ب، پ و ت). در منطقه‌بندی نوع دوم، مقدار Y و HREE از مرکز به سوی قسمت‌های میانی روند نسبتاً یکنواختی داشته و در نزدیکی حاشیه کاهش پیدا کرده است (شکل ۹-ث و ج). رفتار زمین‌شیمیایی Y مشابه با HREE بوده، در ساختار گارنت قرار می‌گیرد و عموماً غلظت آن بیشتر از سایر HREE‌ها است (Gramaccioli and Pezzotta, 2000; Van Westrenen et al., 1999). همانگونه که در شکل ۹ قابل مشاهده است، در تمامی گارنت‌های تجزیه شده، ایترویوم از روند HREE تبعیت کرده است. روند کاهشی Y و I-type REE در گارنت‌های موجود در برخی از گرانیت‌های A-type (Wang et al., 2003)، گرانیت (Smeds, 1994; Whitworth and Freely, 1994; Müller et al., 2012; Samadi et al., 2014b) و بیوتیت گرانوپیوریت‌ها (Dorais and Tubrett, 2012) گزارش شده است (Wang et al., 2003). ظهور گارنت‌هایی با حاشیه فقیر از Y و مرکزهای غنی از Y را به تبلور از یک مذاب باقی‌مانده غنی از مواد فوار نسبت داده‌اند. به اعتقاد ایشان تجمع فاز سیال باعث احلال REE شده و شرایط نامناسبی را برای ورود REE به داخل ساختمان گارنت فراهم نموده است (Smeds 1994). غلظت‌های بالای Y در حاشیه گارنت موجود در پگماتیت‌های نسبتاً تفرقی یافته و مقدار پایین Y را در حاشیه گارنت درون پگماتیت‌های اولیه و بسیار تفرقی یافته منطقه Falun (سوئد) گزارش کرده است. بر پایه این مشاهدات، ایشان معتقد هستند که مقدار Y در گارنت، با افزایش تفرقی ماقمایی کاهش پیدا می‌کند.



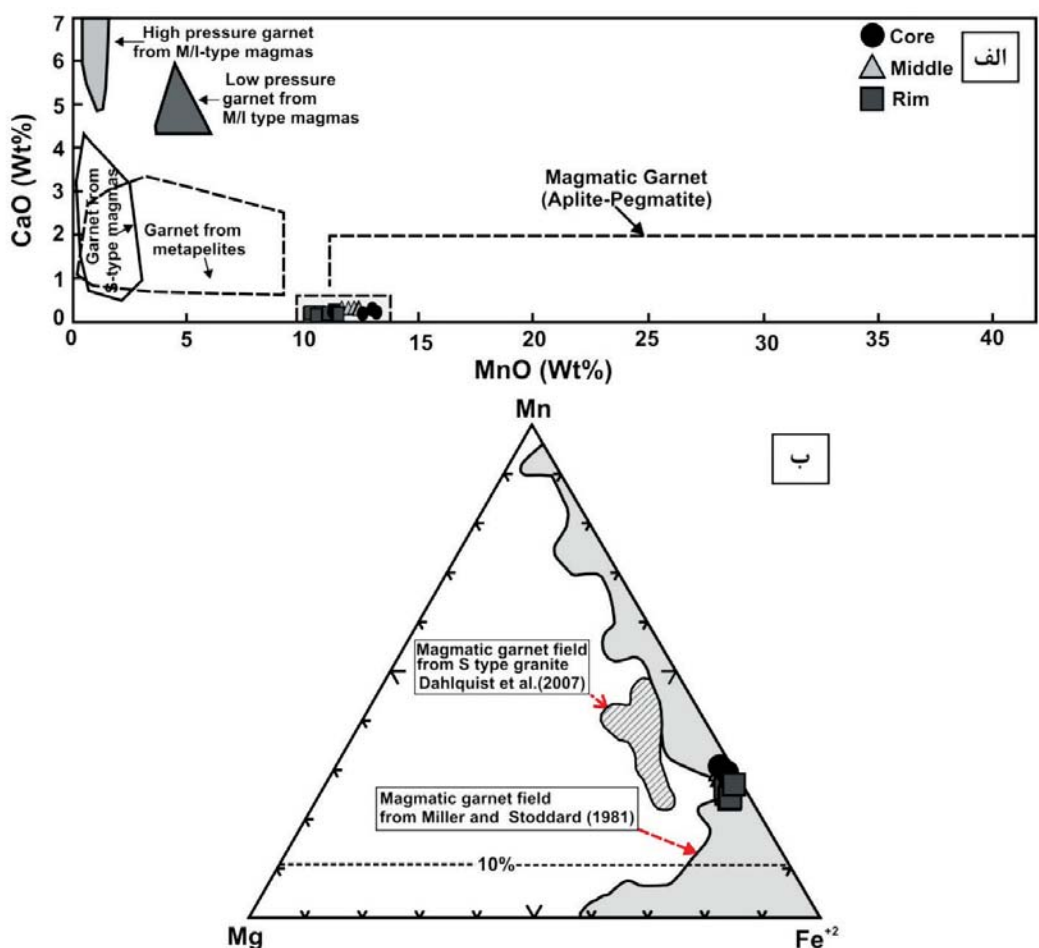
شکل ۹. نمودار تغییرات عناصر کمیاب خاکی و کمیاب از حاشیه-مرکز-حاشیه در بلورهای گارنت موجود در پیگماتیت دره ولی

دیواره به سمت قسمت مرکزی دایک پگماتیتی افزایش پیدا می‌کند در حالیکه مقدار  $\text{Fe}^{2+}$  کاهش پیدا می‌کند. در این پژوهش، نمونه برداری گارنت از بخش‌های حاشیه‌ای دایک پگماتیتی صورت گرفت. بنابراین همانگونه که انتظار می‌رود تغییرات  $\text{MnO}$  و  $\text{FeO}$  در بلورهای گارنت موجود در پگماتیت دره ولی بیانگر تشکیل آن‌ها در بخش حاشیه‌ای طبقه‌بندی (Baldwin and Von Knorring 1983) است (شکل ۱۱-ب). از این‌رو، می‌توان نتیجه گرفت که بلورهای گارنت درون پگماتیت دره ولی از قسمت‌های حاشیه‌ای رگه پگماتیتی (نمایانگر اولین مذاب‌های کمتر تفرق‌یافته برای تبلور) دارای مقادیر پایین‌تر  $\text{MnO}$  و بالاتر  $\text{FeO}$  در مقایسه با قسمت‌های درونی دایک (نمایانگر آخرين مذاب با تفرق‌یافته متوسط برای تبلور) هستند.

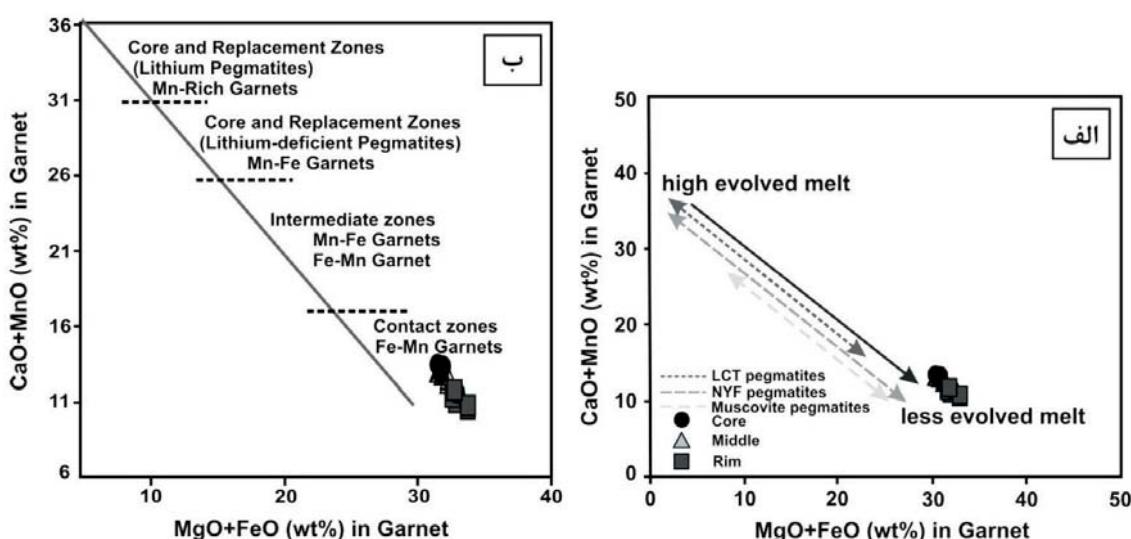
## شرایط $\text{P-T}$ و $f\text{O}_2$ حاکم بر تبلور بلورهای گارنت

Green and Ringwood (1968) و Green (1977) به یک رابطه نزدیک بین ترکیب گارنت (گروسولار و اسپسارتین) و شرایط دما و فشار حاکم بر تبلور آن اشاره کرده‌اند. براساس پیشنهاد ایشان، مقدار گروسولار موجود در گارنت با افزایش فشار، افزایش پیدا می‌کند، در حالی که  $\text{MnO}$  تأثیر قابل توجهی در پایداری گارنت در مذاب‌های سیلیسی تا سطوح کم‌عمق‌تر دارد. برای مثال، گارنت با ۲۰ تا ۲۵ درصد مولی اسپسارتین ممکن است در تعادل با یک مذاب گرانیتی در اعماق ۱۲ کیلومتری و احتمالاً کم‌عمق‌تر با مقادیر بالاتر اسپسارتین باشد. در مقابل، گارنت‌هایی با کمتر از ۱۰ درصد مولی اسپسارتین، که معمولاً در سنگ‌های نفوذی و آتشفشانی سیلیسی استرالیای شرقی یافت می‌شوند، عمق تبلور بیشتر از ۱۸ کیلومتر را نشان می‌دهند. Weisbrod (1974)، Clemens and Green (1977) و Wall (1981) تشخیص دادند که گارنت‌های آلماندین-اسپسارتین غنی از منگنز در درون یک مذاب گرانیتی در فشار زیر پنج کیلوبار پایدار هستند. با افزایش مقدار منگنز، گارنت به عنوان یک کانی پایدار در فشارهای پایین‌تر (زیر یک کیلوبار در درجه حرارت ۷۵۰ درجه سانتی‌گراد) یافت

و مقادیر بالای  $\text{MnO}$  (۱۰/۱۳-۲۷/۱۸ wt.%) هستند. همان‌گونه که در نمودار  $\text{MnO}$  در برابر  $\text{CaO}$  (برحسب درصد وزنی) (Harangi et al., 2001; Samadi et al., 2014) قابل مشاهده است، ترکیب گارنت‌های مورد بررسی بیرون از محدوده گارنت‌های حاصل از متاپلیت‌ها قرار داشته و در محدوده گارنت‌های با خاستگاه ماقمایی (آپلیتی و پگماتیتی) قرار می‌گیرند (شکل ۱-الف). رسم داده‌های عناصر اصلی گارنت‌های درون پگماتیت‌های دره ولی در نمودار مثلثی  $\text{Mn}-\text{Mg}-\text{Fe}^{2+}$  (Miller and Stoddard 1981) است (شکل ۱-ب). میانگین مقدار  $\text{MnO}/(\text{FeO}+\text{MnO})$  بلورهای گارنت ماقمایی به عنوان یک شاخص حساس جهت تعیین درجه تفرق مذاب‌های تشکیل دهنده پگماتیت محاسب می‌شود. این نسبت با افزایش تفرق ماقمایی در یک مذاب پگماتیتی افزایش پیدا می‌کند. بنابراین گارنت‌های غنی از  $\text{Mn}$  احتمالاً از مذاب‌های تفرق یافته غنی از  $\text{Mn}$  تهنشین شده‌اند (Abbott, 1981; Miller and Stoddard, 1981; Müller et al., 2012). Samadi et al. (2013) و Moretz et al. (2014) با LCT مقایسه گارنت در نمونه‌هایی از پگماتیت‌های خانواده، NYF و مسکوویت، نشان دادند که گارنت‌ها از مذاب‌هایی با  $\text{MnO}+\text{CaO}$  و  $\text{FeO}+\text{MgO}$  حاصل شده‌اند (شکل ۱-الف). بر روی نمودار  $\text{MnO}+\text{CaO}$  در مقابل  $\text{FeO}+\text{MgO}$  (برحسب درصد وزنی) (شکل ۱۱-الف)، ترکیب گارنت درون پگماتیت‌های دره ولی درجه پایینی از تفرق پگماتیت را نشان می‌دهند. بر پایه مطالعات Baldwin and Von Knorring (1983) در پگماتیت‌های نوع لیتیم-سزیم-تانتالیوم، مقدار  $\text{MnO}$  و  $\text{FeO}$  گارنت براساس موقعیت آن‌ها در درون توده پگماتیتی تغییر می‌کند. ایشان اشاره کردند که گارنت با  $\text{Fe} > \text{Mn}$  در بخش حاشیه‌ای، گارنت با  $\text{Fe} \approx \text{Mn}$  در بخش میانی و گارنت‌های غنی از منگنز ( $\text{MnO}=۴۱-۲۷$  wt.%) در قسمت مرکزی دایک‌های پگماتیتی تشکیل می‌شوند. در حقیقت، براساس پیشنهاد Baldwin and Von Knorring (1983)



شکل ۱۰. (ا) مقایسه مقادیر  $\text{CaO}$  در برابر  $\text{MnO}$  (بر حسب درصد وزنی) گارنت‌های درون پگماتیت گرانیتی دره ولی با پگماتیت‌های گرانیتی در سایر نقاط جهان (Samadi et al., 2014) و همچنین گارنت‌های اذربین درون گرانیتوئیدهای سایر نقاط جهان و گارنت دگرگونی متاپلیت‌ها (Miller and Stoddard, 1981)، (ب) ترکیب شیمیایی گارنت‌های دره ولی در قلمرو آذربین (Harangi et al., 2001)



شکل ۱۱. (ا) طبقه‌بندی مذاب تفریق بافته دره ولی براساس  $\text{MnO}+\text{CaO}$  در برابر  $\text{MgO}+\text{FeO}$  (Moretz et al., 1983) (Baldwin and Von Knorring, 1983) (ب) رابطه بین ترکیب شیمیایی گارنت و منطقه‌بندی پگماتیت دره ولی (برگرفته از 2013)

و شرایط اکسیداسیون پایدار است. بنابراین، بی‌هنجاری منفی Eu در مرکز گارنت‌های موجود در پگماتیت دره ولی (شکل ۶-الف) بیانگر تشکیل مرکز آنها در شرایط دمایی بالا ( $T > 250^{\circ}\text{C}$ ) و  $\text{fO}_2$  پایین سیالات تشکیل دهنده مذاب پگماتیتی است. از سویی دیگر، بی‌هنجاری مثبت Eu در حاشیه گارنت‌های درون پگماتیت دره ولی (شکل ۶-الف) احتمالاً به تشکیل آنها در شرایط اکسیدان و درجه حرارت پایین ( $T < 250^{\circ}\text{C}$ ) سیالات موجود در مذاب پگماتیتی اشاره دارد. شایان ذکر است که عوامل دیگری نیز ممکن است در ایجاد بی‌هنجاری Eu نقش داشته باشند. برای مثال، مشخص شده است که پلازیوکلاز Eu را در خود جای می‌دهد، بنابراین، مقدار پایین  $\text{Eu}^{+2}/\text{Eu}^{+3} < 1$  در گارنت موجود در پگماتیت‌های مورد مطالعه می‌تواند به وسیله فراوانی پایین  $\text{Eu}^{+2}$  در سیال پگماتیتی، به دلیل پایین بودن درجه دگرسانی پلازیوکلاز در سنگ منشأ توجیه شود (Lottermoser, 1992; Bau et al., 1998). در مقابل، مقدار بالای Eu در گارنت با  $\text{Eu}^{+2}/\text{Eu}^{+3} > 1$  ممکن است ناشی از دگرسانی مقادیر زیادی از فلدسپار و مشارکت Eu به داخل سنگ مادر باشد (Heimann et al., 2011).

## نتیجه‌گیری

منطقه دره ولی از دایک‌های پگماتیتی متعددی با روند شمال غربی-جنوب شرقی تشکیل شده است. این توده‌های پگماتیتی آخرین فاز تبلور ماقما در منطقه مورد مطالعه هستند. از نظر ترکیب کانی‌شناسی، در مقاطع میکروسکوپی شامل کوارتز، فلدسپار آلکالن (ارتوكلاز و میکروکلین)، پلازیوکلاز، مسکوویت، گارنت، آندالوزیت، تورمالین و آپاتیت هستند. نتایج حاصل از بررسی شیمی کانی‌ها بیانگر تعلق بلورهای گارنت موجود در پگماتیت دره ولی به محلول جامد آلماندین-اسپسارتین است. گارنت موجود در این سنگ‌ها منطقه‌بندی ترکیبی نشان می‌دهد که با افزایش Fe نسبت به Mn از مرکز به حاشیه مشخص می‌شود. بر پایه شواهد زمین‌شیمیایی نظیر محتوای بسیار بالای منگنز ( $\text{MnO} = 10/13\text{--}27/18 \text{ wt.\%}$ ) و مقدار کم کلسیم ( $\text{CaO} = 0/0\text{--}15/29 \text{ wt.\%}$ ), گارنت‌های منطقه دره ولی،

می‌شود (Weisbrod, 1974). همچنین مطالعات تجربی (Hsu, 1968; Green, 1977) نشان داده است که محتوای بالای Mn، پایداری گارنت در ماگماها را افزایش می‌دهد و منجر به تبلور آن به عنوان یک کانی آذرین اولیه در فشارهای سه کیلوبار یا کمتر می‌شود. بنابر اعتقاد Baldwin and Von Knorrung (1983) غنی از منگنز از ماگماهای غنی شده در مواد فرار تشکیل می‌شوند. بنابراین می‌توان احتمال داد که گارنت‌های غنی از اسپسارتین در پگماتیت دره ولی به عنوان فازهای اولیه از یک مذاب گرانیتی غنی شده در ترکیبات فرار و در فشار و درجه حرارت پایین تشکیل شده باشند. با توجه به داده‌های جدول ۲، ترکیب مرکز و حاشیه بلورهای گارنت موجود در پگماتیت دره ولی حاکی از افزایش میزان درصد مولی آلماندین و پیروپ به سمت حاشیه و بالاتر بودن اسپسارتین در قسمت‌های مرکزی گارنت است. بنابراین با توجه به یافته‌های پژوهشگران یاد شده، تبلور بلورهای گارنت در پگماتیت دره ولی در فشار پایین تراز ۵ کیلوبار محرز می‌شود. در این پژوهش، الگوی REE گارنت موجود در دایک‌های پگماتیتی جهت تفسیر شرایط فیزیکوشیمیایی تشکیل سنگ مادر مورد استفاده قرار گرفت. تحرک REE براساس عواملی که واکنش سنگ-سیال را کنترل می‌کنند مورد بحث و بررسی قرار می‌گیرد (Bau, 1991; Lottermoser, 1992).

ماهیت بی‌هنجاری Eu در گارنت‌ها به عنوان انعکاسی از شرایط فیزیکوشیمیایی (درجه حرارت T) و فوگاسیته اکسیژن ( $\text{fO}_2$ ) سیال در نظر گرفته می‌شود (Schwandt et al., 1993; Lottermoser, 1988) که این امر ناشی از تأثیر درجه حرارت و فوگاسیته سیالات گرمابی بر Eu است. گسترش بی‌هنجاری Eu در الگوهای REE در مقایسه با دیگر REEs (به استثنای Ce) که فقط یک حالت اکسیداسیون دارد، ناشی از حالت اکسایش متغیر Eu<sup>+3</sup> و Eu<sup>+2</sup> است که منجر به تفکیک آن در طی فرآیندهای زمین‌شناسی می‌شود. (Sverjensky (1984) و Bau (1991) نشان دادند که Eu<sup>+2</sup> در سیالاتی با درجه حرارت بیشتر از  $250^{\circ}\text{C}$  و شرایط احیایی نسبت به Eu<sup>+3</sup> فراوان‌تر خواهد بود، در حالیکه Eu<sup>+3</sup> در دماهای کمتر از

in western Anatolia, Turkey. *Journal of Volcanology and Geothermal Research*, 102, 67–95.

- Allan, B.D. and Clarke, D.B., 1981. Occurrence and origin of garnets in the South Mountain batholith, Nova Scotia. *Canadian Mineralogist*, 19, 19–24.

- Anczkiewicz, R., Thirlwall, M., Alard, O., Rogers, N.W. and Clark, C., 2012. Diffusional homogenization of light REE in garnet from the Day Nui Con Voi Massif in N-Vietnam: Implications for Sm-Nd geochronology and timing of metamorphism in the Red River shear zone. *Chemical Geology*, 318–319, 16–30.

- Arredondo, E.H., Rossman, G.R. and Lumpkin, G.R., 2001. Hydrogen in spessartine-almandine garnets as a tracer of granitic pegmatite evolution. *American Mineralogist*, 86, 485–490.

- Baldwin, J.R. and Von Knorring, O., 1983. Compositional range of Mn-garnet in zoned granitic pegmatites. *Canadian Mineralogist*, 21, 683–688.

- Bau, M., 1991. Rare-earth element mobility during hydrothermal and metamorphic fluid-rock interaction and the significance of the oxidation state of europium. *Chemical Geology*, 93, 219–230.

- Bau, M., Usui, A., Pracejus, B., Mita, N., Kanai, Y., Irber, W. and Dulski, P., 1998. Geochemistry of low-temperature water-rock interaction: evidence from natural waters, andesite, and iron-oxyhydroxide precipitates at Nishiki-numa iron-spring, Hokkaido, Japan. *Chemical Geology*, 151, 293–307.

- Černý, P., Meintzer, R.E. and Anderson, A.J., 1985. Extreme fractionation in rare-element granitic pegmatites: selected examples of data and mechanism. *The Canadian Mineralogist*, 23, 381–421.

منشأ آذرین داشته و در محدوده گارناتهای با خاستگاه ماقمایی درون مذاب پگماتیتی قرار می‌گیرند. مقدار بالای  $MnO+CaO$  در برابر مقدار کم  $MgO+FeO$  حاکی از تبلور آنها در حاشیه رگه پگماتیتی و از مذاب‌های کمتر تفریق یافته است. شیمی کانی گارنت، محدوده دمایی پایین و فشار پایین‌تر از پنج کیلوبار را برای تشکیل پگماتیت دره ولی نشان می‌دهد. روند تغییرات گارناتهای مورد مطالعه نسبت به  $Y$  و  $Ho$  (از  $Lu$  تا  $REE$ ) از مرکز به حاشیه کاهشی است. روند کاهشی مشاهده شده در  $Y$  و  $REE$  از مرکز به حاشیه در این گارناتهای افزایش تفریق ماقمایی، افزایش اکتیویته  $H_2O$  و تجمع فاز سیال نسبت داده می‌شود. بی‌هنجری منفی  $Eu$  در مرکز گارناتهای مورد مطالعه احتمالاً ناشی از رشد گارنت در شرایط احیایی و دمایی بالا، کافی بودن نرخ انتشار  $REE$  در مراحل اولیه رشد گارنت و تعادل گارناتهای در حال رشد با فلدسپار بوده است، و به دنبال آن در حاشیه گارناتهای در حال رشد، به دلیل کاهش نرخ انتشار  $REE$  ناشی از کاهش درجه حرارت و همچنین عدم تعادل بین گارنت و فلدسپار، بی‌هنجری مثبت  $Eu$  ایجاد شده است.

## منابع

- حاج ملاعلی، ا. و سهندی، م.ر., ۱۳۷۱. نقشه زمین‌شناسی ۱:۲۵۰۰۰ خرم‌آباد. سازمان زمین‌شناسی و اکتشافات معدنی کشور.
- Abbott Jr., R.N., 1981. AFM liquidus projection for granitic magmas, with special reference to hornblende, biotite and garnet. *The Canadian Mineralogist*, 19, 103–110.
- Ahmadi-Khalaji, A., Esmaeily, D., Valizadeh, M.V. and Rahimpour-Bonab, H., 2007. Petrology and geochemistry of the granitoid complex of Boroujerd, Sanandaj-Sirjan zone, Western Iran. *Journal of Asian Earth Sciences*, 29, 859–877.
- Aldanmaz, E., Pearce, J. A., Thirlwall, M.F. and Mitchell, J.G., 2000. Petrogenetic evolution of late Cenozoic, post-collision volcanism

- Chappell, B.W. and White, A.J.R., 1992. I-and S-type granites in the Lachlan Fold Belt. *Transactions of the Royal Society of Edinburgh Earth Sciences*, 83, 1-26.
- Clemens, J.D. and Wall, V.J., 1981. Origin and crystallization of some peraluminous (S-type) granitic magmas. *Canadian Mineralogist*, 10, 111-131.
- Coleman, R.G., Lee, D.E., Beatty, L.B. and Brannock, W.W., 1965. Eclogites and eclogites: Their differences and similarities. *Geological Society of America Bulletin*, 76, 483-508.
- Dahlquist, J.A., Galindo, C., Pankhurst, R.J., Rapela, C.W., Alasino, P. H., Saavedra, J. and Fanning, C.M., 2007. Magmatic evolution of the Peñón Rosado granite: Petrogenesis of garnet-bearing granitoids. *Lithos*, 95, 177-207.
- Deer, W.A., Howie, R.A. and Zussman, J., 1982. *Rock-Forming Minerals. 1A Orthosilicates*. Longmans, 2nd edition, 919.
- Dorais, M.J. and Tubrett, M., 2012. Detecting peritectic garnet in the peraluminous Cardigan Pluton, New Hampshire. *Journal of Petrology*, 53, 299-324.
- Droop, G.T.R., 1987. A general equation for estimating  $\text{Fe}^{3+}$  concentrations in ferromagnesian silicates and oxides from microprobe analyses, using stoichiometric data. *Mineralogical Magazine*, 51, 431-435.
- Gaspar, M., Knaack, C., Meinert, L. and Moretti, D., 2008. REE in skarn systems: A LA-ICP-MS study of garnets from the Crown Jewel gold deposit. *Geochimica Cosmochimica Acta*, 72, 185-205.
- Gramaccioli, C.M. and Pezzotta, F., 2000. Geochemistry of yttrium with respect to rare-earth elements in pegmatites. *Memorie della Società Italiana di Scienze naturali e del Museo Civico di Storia Naturale di Milano*, 30, 111-115.
- Green, D.H. and Ringwood, A.E., 1968. Origin of the garnet phenocrysts in calc-alkaline rocks. *Contributions to Mineralogy and Petrology*, 18, 163-174.
- Green, T.H., 1977. Garnet in silicic liquids and its possible use as a P-T indicator. *Contributions to Mineralogy and Petrology*, 65, 59-67.
- Green, T.H., 1992. Experimental phase equilibrium studies of garnet-bearing I-type volcanic and high-level intrusive from Northland, New Zealand. *Transactions of the Royal Society of Edinburgh Earth Sciences*, 83, 429-438.
- Harangi, S.Z., Downes, H., Koša, L., Szabo, C.S., Thirlwall, M.F. and Mason, P.R.D., 2001. Almandine garnet in calc-alkaline volcanic rocks of the Northern Pannonian Basin (Eastern-Central Europe): geochemistry, petrogenesis and geodynamic implications. *Journal of Petrology*, 42, 1813-1843.
- Heimann, A., 2015. The chemical composition of gahnite and garnet as exploration guides to and indicators of rare element (Li) granitic pegmatites. U.S. Geological Survey, Open-File Report 1-24.
- Heimann, A., Spry, P.G., Teale, G.S., Conor, C.H.H. and Pearson, N.J., 2011. The composition of garnet in garnet-rich rocks in the southern Proterozoic Curnamona Province, Australia: an indicator of the premetamorphic physico-chemical conditions of formation. *Mineralogy and Petrology*, 101, 49-74.
- Höning S., Čopjaková R., Škoda R., Novák M., Dolejš D., Leichmann, J. and Vašinová Galiová, M., 2014. Garnet as a major carrier of the Y and REE in the granitic rocks: An example from

- the layered anorogenic granite in the Brno Batholith, Czech Republic. *American Mineralogist*, 99, 1922–1941.
- Hsu, L.C., 1968. Selected phase relationships in the system Al-Mn-Fe-Si-O-H, a model for garnet equilibria. *Journal of Petrology*, 9, 40–83.
  - Leake, B.E., 1967. Zoned garnets from the Galway granite and its aplite. *Earth and Planetary Science Letters*, 3, 311–315.
  - London, D., 2008. Pegmatites. *Canadian Mineralogist Special Publication*, 10, 1–347.
  - Lottermoser, B.G., 1988. Rare earth element composition of garnets from the Broken Hill Pb-Zn-Ag orebodies, Australia. *Neues Jahrbuch Mineral Monatsh*, 9, 423–431.
  - Lottermoser, B.G., 1992. Rare earth elements and hydrothermal ore formation processes. *Ore Geology Reviews*, 7, 25–41.
  - Macleod, G., 1992. Zoned manganiferous garnets of magmatic origin from the Southern Uplands of Scotland. *Mineralogical Magazine*, 56, 115–116.
  - Manning, D.A.C., 1983. Chemical variations in garnets from aplites and pegmatites, peninsular Thailand. *Mineralogical Magazine*, 47, 353–358.
  - McDonough, W.F. and Sun, S.S., 1995. The composition of the Earth. *Chemical Geology*, 120, 223–253.
  - Miller, C.F. and Stoddard, E.F., 1981. The role of manganese in the paragenesis of magmatic garnet: an example from the Old Woman Piute Range, California. *The Journal of Geology*, 89, 233–246.
  - Moretz, L., Heimann, A., Bitner, J., Wise, M., Rodrigues Soares, D. and Mousinho Ferreira, A., 2013. The composition of garnet as indicator of rare metal (Li) mineralization in granitic pegmatites. *Proceeding of The 6th International Symposium on Granitic Pegmatites*, 94–95.
  - Müller, A., Kaersley, A., Spratt, J. and Seltmann, R., 2012. Petrogenetic implications of magmatic garnet in granitic pegmatites from southern Norway. *Canadian Mineralogist*, 50, 1095–1115.
  - Nakano, T. and Ishikawa, Y., 1997. Chemical zoning of pegmatite garnets from the Ishikawa and Yamanoo areas, northeastern Japan. *Geochemical Journal*, 31, 105–118.
  - Peng, T., Wang, Y., Zhao, G., Fan, W. and Peng, B., 2007. Arc-like volcanic rocks from the Southern Lancangtong Zone, SW China: Geochronological and geochemical constraint on their petrogenesis and tectonic implication. *Lithos*, 102, 358–373.
  - Rollinson, H., 1993. *Using Geochemical Data: Evaluation, Presentation, Interpretation*. Longman Group UK Ltd., London, U.K, 352.
  - Samadi, R., Miller, N., Mirnejad, H., Hariss, C., Kawabata, H. and Shirdashtzadeh, N., 2014. Origin of garnet in aplite and pegmatite from Khajeh Morad of NE Iran: a major, trace element, and oxygen isotope approach. *Lithos*, 208–209, 378–392.
  - Schwandt, C.S., Papike, J.J., Shearer, C.K. and Brearley, A.J., 1993. A SIMS investigation of REE chemistry of garnet in garnetite associated with the Broken Hill Pb-Zn-Ag orebodies, Australia. *Canadian Mineralogist*, 31, 371–379.
  - Smeds, S.A., 1994. Zoning and fractionation trends of a peraluminous NYF granitic pegmatite field at Falun, south-central Sweden. *Journal of the Geological Society of Sweden*, 116(3), 175–184.

- Sörla, H., Thöni, M. and Habler, G., 2003. Dating a single garnet crystal with very high Sm/Nd ratios (Campo basement unit, Eastern Alps). *European Journal of Mineralogy*, 15, 35–42.
- Sverjensky, D.A., 1984. Europium equilibria in aqueous solution. *Earth and Planetary Science Letters*, 67, 70–78.
- Thöni, M. and Miller, C., 2000. Permo-Triassic pegmatites in the eo-Alpine eclogite-facies Koralpe complex, Austria: age and magma source constraints from mineral chemical, Rb-Sr and Sm-Nd isotope data. *Schweizerische Mineralogische und Petrographische Mitteilungen*, 80(2), 169–186.
- Thöni, M. and Miller, C., 2004. Ordovician meta-pegmatite garnet (NW Ötztal basement, Tyrol, Eastern Alps): preservation of magmatic garnet chemistry and Sm-Nd age during mylonitization. *Chemical Geology*, 209, 1–26.
- Tsygankov, A.A. and Vrublevskaya, T.T., 1988. *The Continental Crust: Its Composition and Evolution*. Blackwell Scientific Publications, 312.
- Van Westrenen, W., Blundy, J. and Wood, B., 1999. Crystal-chemical controls on trace element partitioning between garnet and anhydrous silicate melt. *American Mineralogist*, 84, 838–847.
- Wang, R.C., Fontan, F., Chen, X.M., Hu, H., Liu, C.S., Xu, S.J. and de Parseval, P., 2003. Accessory minerals in the Xihuashan Y-enriched granitic complex, southern China: A record of magmatic and hydrothermal stages of evolution. *Canadian Mineralogist*, 41, 727–748.
- Weisbrod, A., 1974. Étude expérimentale de l'équilibre grenat-cordiérite dans le système Mn-Fe-Al-Si-O-H, à 750 °C. Implications thermodynamiques et pétrologiques. *Bulletin de la Société Française Minéralogie et de Cristallographie*, 97, 261–270.
- Whitney, D.L. and Evans, B.W., 2010. Abbreviations for names of rock-forming minerals. *American Mineralogist*, 95, 185–187.
- Whitworth, M.P., 1992. Petrogenetic implications of garnets associated with lithium pegmatites from SE Ireland. *Mineralogical Magazine*, 56, 75–83.
- Whitworth, M.P. and Feely, M., 1994. The compositional range of magmatic Mn-garnets in Galway Granite, Connemara, Ireland. *Mineralogical Magazine*, 58, 163–168.
- Wilson, M., 1989. *Igneous Petrogenesis*. Chapman and Hall, London, UK, 452.
- Wu, F.Y., Jahn, B.M., Wilde, S.A., Lo, C.H., Yui, T.Z., Lin, Q., Ge, W.C. and Sun, D.Y., 2003. Highly fractionated I-type granites in NE China (I): geochronology and petrogenesis. *Lithos*, 66, 241–273.